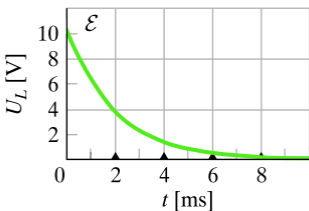


a)



b)

Rys. 31.19. Zależność od czasu: a) różnicy potencjałów U_R na oporniku, w obwodzie przedstawionym na rysunku 31.18, b) różnicy potencjałów U_L na cewce w tym samym obwodzie. Małe trójkącki przedstawiają kolejne przedziały czasowe, równe indukcyjnej stałej czasowej $\tau_L = L/R$. Wykres został sporządzony dla $R = 2000 \Omega$, $L = 4 \text{ H}$ oraz $\mathcal{E} = 10 \text{ V}$